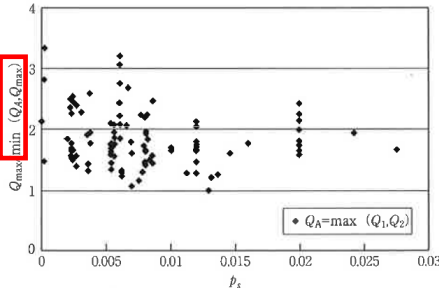
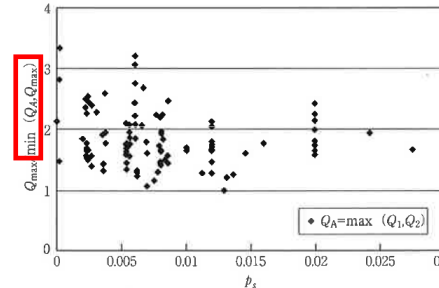
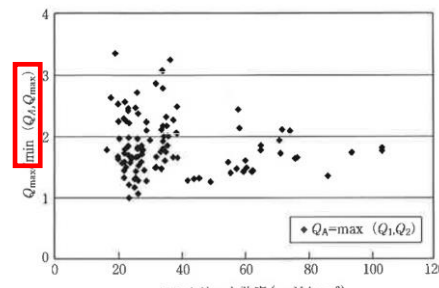
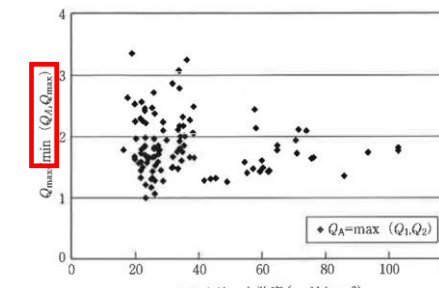
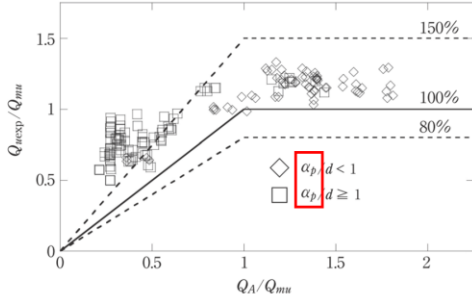
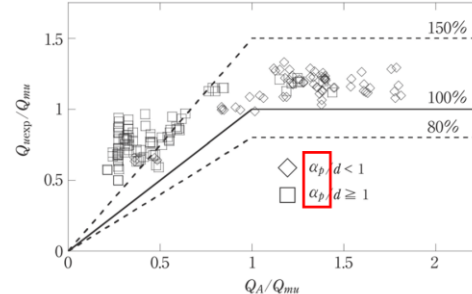


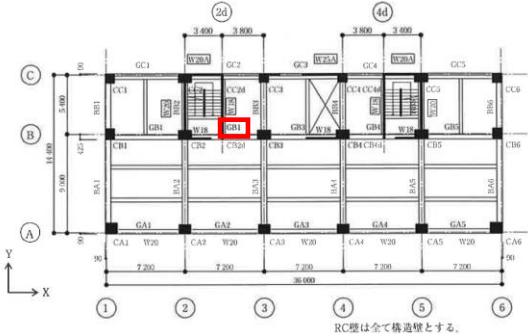
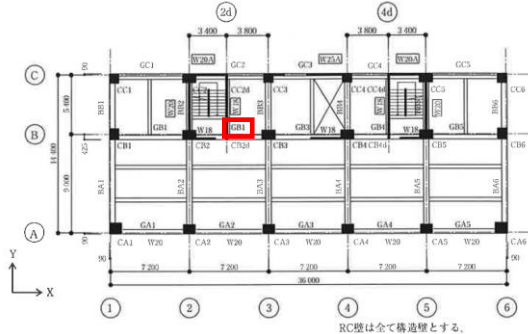
「鉄筋コンクリート構造計算規準・同解説 2018」正誤表

箇所	誤	正	掲載日
73 頁, 脚注	3) 東 洋一: T 形大梁・小梁の有効幅と有効剛度, 日本建築学会論文報告集, No. 57, 1957.7 4) 東 洋一・大久保全陸: 中央集中荷重時単純支持鉄筋コンクリート T 梁の有効幅と破壊性状, 日本建築学会論文報告集, No. 146, 1986.4	3) 東 洋一: T 形大梁・小梁の協力巾と有効剛度, 日本建築学会論文報告集, No. 57, 1957.7 4) 東 洋一・大久保全陸: 中央集中荷重時単純支持鉄筋コンクリート T 梁の有効幅と破壊性状, 日本建築学会論文報告集, No. 146, 1968.4	2022/07/22
123 頁, 20 行目	$n = 10.2 \sim 8.9$ の範囲にあり,	$n = 10.0 \sim 8.7$ の範囲にあり,	2020/10/26
123 頁, 下から 5 行目	$n = 15.3 \sim 13.4$ となるが,	$n = 15.0 \sim 13.1$ となるが,	2020/10/26
131 頁, 下から 4~6 行目	中立軸がスラブの外にあるか内にあるかは引張鉄筋比 p_t によって判定される. 中立軸がスラブ下端に一致するときの引張鉄筋比 p_t は次式で求められ, これを解説図 13.6 に示す. $\underline{p_t} = \frac{t_1^2}{2n(1-t_1)} \quad (\text{解 13.12})$	中立軸がスラブの外にあるか内にあるかは引張鉄筋比 p_t' によって判定される. 中立軸がスラブ下端に一致するときの引張鉄筋比 p_t' は次式で求められ, これを解説図 13.6 に示す. $\underline{p_t'} = \frac{t_1^2}{2n(1-t_1)} \quad (\text{解 13.12})$	2021/6/2
132 頁, 4 行目	$C_2 = \underline{p_t} \frac{12 - 12t_1 + 4t_1^2 + \frac{t_1^3}{np_t}}{12 - 6t_1} f_t \quad (\text{解 13.14})$	$C_2 = \underline{p_t'} \frac{12 - 12t_1 + 4t_1^2 + \frac{t_1^3}{np_t'}}{12 - 6t_1} f_t \quad (\text{解 13.14})$	2021/6/2
273 頁, 11 行目	$\delta_e = \frac{1}{32} \frac{\lambda^4}{1 + \lambda^4} \frac{wl_x^4}{Et^3} \quad (\text{解 18.2})$	$\delta_e = \frac{1}{32} \frac{\lambda^4}{1 + \lambda^4} \frac{wl_x^4}{Et^3} \quad (\text{解 18.2})$	2019/5/10
275 頁, 脚注	12) <u>伊藤 勝・小倉桂治・高山正春: RC スラブ長用たわみ性状に関する研究 (その 3), 日本建築学会大会学術講演梗概集, 1980.9</u>	12) <u>小柳光生・山本俊彦・横須賀誠一: 型わく支保工の存置期間に関する研究 (その 3), 日本建築学会大会学術講演梗概集, 1981.9</u>	2020/3/19
285 頁, 下から 17 行目	$\delta_L = \underline{\delta_{bi}} \times \psi / \alpha_y$	$\delta_L = \underline{\delta_{b0}} \times \psi / \alpha_y$	2020/10/26
285 頁, 下から 8 行目	$\Delta M_{x1} = -6(EI_s/L_x^2) \times \Delta \delta$ $= -6 \times 2.44 \times 10^4 \times 6.67 \times 10^8 / 5\,000^2 \times \underline{1.90}$	$\Delta M_{x1} = -6(EI_s/L_x^2) \times \Delta \delta$ $= -6 \times 2.44 \times 10^4 \times 6.67 \times 10^8 / 5\,000^2 \times \underline{1.80}$	2021/6/2

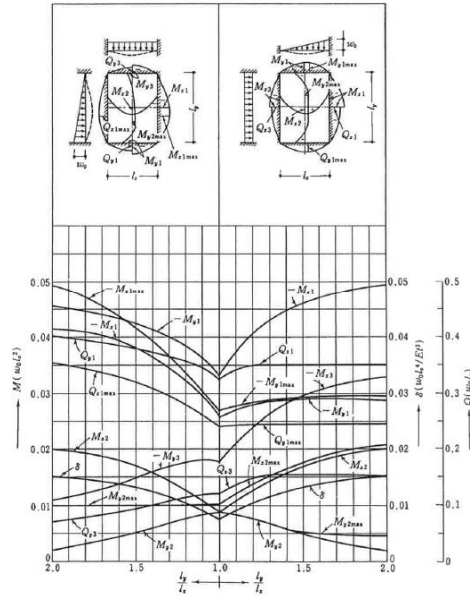
285 頁, 下から 7 行目	$= -7.42 \times 10^6 \text{ Nmm/m} = -7.5 \text{ kNm/m}$	$= -7.03 \times 10^6 \text{ Nmm/m} = -7.0 \text{ kNm/m}$	2020/10/26
285 頁, 下から 4 行目	$= 2.38 - 0.24 \times 2 = 1.90 \text{ mm}$	$= 2.28 - 0.24 \times 2 = 1.80 \text{ mm}$	2020/10/26
287 頁, 7 行目	$\Delta M_{x1} = -7.5 \text{ kNm/m}$	$\Delta M_{x1} = -7.0 \text{ kNm/m}$	2020/10/26
287 頁, 9 行目	$= -9.8 - 7.5 = -17.3 \text{ kNm/m}$	$= -9.8 - 7.0 = -16.8 \text{ kNm/m}$	2020/10/26
287 頁, 12 行目	$\sigma_x = M_0 / Z = 2.60$	$\sigma_x = M_0 / Z = 2.52$	2020/10/26
305 頁, 解説図 19.7	 <p>解説図 19.7 無開口耐震壁の許容せん断力 Q_A の実験値 (終局強度 Q_{max}) に対する安全率と壁筋比の関係</p> <p>$\min(Q_A, Q_{max})$</p>	 <p>解説図 19.7 無開口耐震壁の許容せん断力 Q_A の実験値 (終局強度 Q_{max}) に対する安全率と壁筋比の関係</p> <p>$\min(Q_A, Q_{mu})$</p>	2020/10/26
306 頁, 解説図 19.8	 <p>解説図 19.8 無開口耐震壁の許容せん断力 Q_A の実験値 (終局強度 Q_{max}) に対する安全率とコンクリート強度の関係</p> <p>$\min(Q_A, Q_{max})$</p>	 <p>解説図 19.8 無開口耐震壁の許容せん断力 Q_A の実験値 (終局強度 Q_{max}) に対する安全率とコンクリート強度の関係</p> <p>$\min(Q_A, Q_{mu})$</p>	2020/10/26
334 頁, 解説図 19.33(a)	梁 $d = 500 \quad D = 700$ 柱 $d = 750 \quad D = 800$	梁 $b = 500 \quad D = 700$ 柱 $b = 750 \quad D = 800$	2019/3/9

364 頁, 5 行目	各杭が平均して鉛直荷重が負担できるように	各杭が平均して鉛直荷重を負担できるように	2020/10/26
366 頁, 下から 4 行目	せん断 $Q = N'$	せん断力 $Q = N'$	2019/3/9
367 頁, 脚注 6 行目	C-2, 構造 IV	C-1, 構造 III	2021/6/2
369 頁, 17 行目	その下限は $\beta_b = l_p/a_p$ としている	下線部削除	2019/5/10
370 頁, 解説図 20.18	 <p>解説図 20.18 4本杭支持の基礎スラブの最大荷重時せん断力と短期許容せん断力の比較</p> <p>α_p</p>	 <p>解説図 20.18 4本杭支持の基礎スラブの最大荷重時せん断力と短期許容せん断力の比較</p> <p>α_p</p>	2023/03/01
372 頁, 下から 10 行目	<u>原則として杭芯位置とし,</u>	<u>曲げモーメントが最大となる断面 (通常は柱フェイス位置, 曲げモーメントの検定を柱芯で行う場合は柱芯位置) ならびに杭芯位置とする.</u>	2020/3/19
373 頁, 下から 3~5 行目	また, <u>テンションシフトを考慮する場合で規準 (16.2) 式, 規準 (16.4) 式を満足しない場合は,</u> 柱フェイスから杭芯までの区間をテンションシフトとして考え, 杭芯からの付着長さ l_d から d を減じなくてもよい。	また, <u>杭芯位置を付着検定断面とする付着の検定では, 以下のように考える.</u> <u>(a) テンションシフトを考慮しない場合:</u> <u>杭芯位置の長期, 短期の主筋の存在応力度を用いる.</u> <u>(b) テンションシフトを考慮する場合:</u> <u>曲げモーメントが最大となる断面の長期, 短期の主筋の存在応力度を用いる.</u> <u>この場合は, 柱フェイス (または柱芯) から杭芯までの区間をテンションシフト</u>	2020/3/19

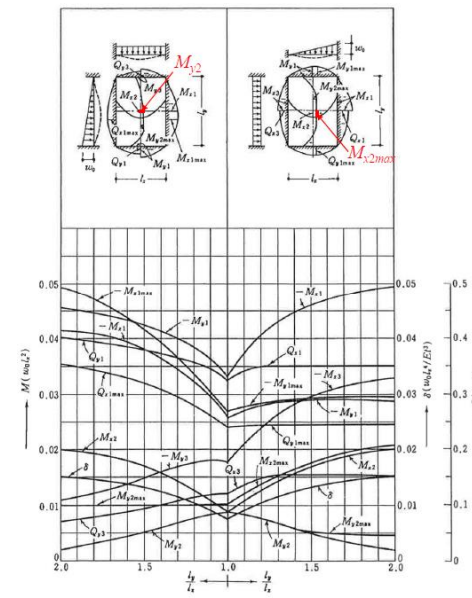
		トとして考え、杭芯からの付着長さ l_d から d を減じなくてもよい。	
381 頁, 表の最下行	$\tau_{a2} = 0.8lf_a$	$\tau_{a2} = 0.8f_a$	2019/3/9
385 頁, 10 行目	したがってストラット断面積 A_s は柱断面積の 0.8 倍とする。	したがって, <u>ストラット断面積 A_s はここでは柱断面積の 0.8 倍とした。</u>	2021/6/2
385 頁, 中ほどの表	文献 8) 文献 9), 10) 文献 11), 12)	文献 7) 文献 8), 9) 文献 10), 11)	2021/6/2
387 頁, 2 行目	$T = N \times \tan\theta = 7\,800 \times 565.7 / 1\,653.8 = 2\,668 \text{ kN}$	$T = N / \tan\theta = 7\,800 \times 565.7 / 1\,653.8 = 2\,668 \text{ kN}$	2019/3/9
407 頁, 11 行目	中山・狩野の提案式 ²¹⁾	中山・狩野の提案式 ²²⁾	2024/3/22
409 頁, 解説図 22.11	<p>(記号) $T_{01} = \left(\frac{2a_1}{x} - 0.001b \right) A_0 w f_t$ <small>かつ</small> $\leq b^2 D_r (4/3) f_s$ $Q_0 = b_j (\alpha f_s + 0.5 (p_w - 0.002) w f_t)$ $\bar{Q} = Q_0 - 0.5 (j/A_0) T_{01}$ <small>かつ</small> $\geq b_j (\alpha f_s - 0.0005 w f_t)$</p> <p>[注] 記号は(解 22.10)式~(解 22.15)式を参照 解説図 22.11 ねじりモーメントを受ける材の設計用相関曲線</p> <p>$T_{01} = \left(\frac{2a_1}{x} - 0.001b \right) A_0 w f_t$ $T_{02} = (2a_s / \psi_0) A_0 s f_t$ $M_0 = a_s j s f_t$ [注] 記号は(解 22.10)式~(解 22.15)式を参照</p>	<p>(記号) $T_{01} = \left(\frac{2a_1}{x} - 0.001b \right) A_0 w f_t$ <small>かつ</small> $\leq b^2 D_r (4/3) f_s$ $Q_0 = b_j (\alpha f_s + 0.5 (p_w - 0.002) w f_t)$ $\bar{Q} = Q_0 - 0.5 (j/A_0) T_{01}$ <small>かつ</small> $\geq b_j (\alpha f_s - 0.0005 w f_t)$</p> <p>[注] 記号は(解 22.10)式~(解 22.15)式を参照 解説図 22.11 ねじりモーメントを受ける材の設計用相関曲線</p> <p>$T_{01} = \left(\frac{2a_1'}{x} - 0.001b \right) A_0 w f_t$ $T_{02} = (2a_s' / \psi_0) A_0 s f_t$ $M_0 = a_t j s f_t$ [注] 記号は(解 22.10)式~(解 22.15)式を参照 ただし, a_1' は x の間隔で配置される閉鎖形あばら筋 1 本の断面積, a_s' は軸方向筋の全断面積, a_t は引張鉄筋の断面積とする。</p>	2024/3/22
410 頁, 解説図 22.4	$Q_0 = b_j \alpha f_s$	$Q_0 = b_j \alpha f_s$	2021/6/2

<p>421 頁, 付図 2.4</p>	 <p>付図 2.4 床 伏 図 RC壁は全て構造壁とする。</p>	 <p>付図 2.4 床 伏 図 RC壁は全て構造壁とする。</p>	<p>2020/10/26</p>
	<p><u>GB1</u></p>	<p><u>GB2</u></p>	
<p>515 頁, 4 行目</p>	<p>k_H: 部材せいに関する係数 ¹⁸⁾</p>	<p>k_H: 部材せいに関する係数 ²²⁾</p>	<p>2020/3/19</p>
<p>516 頁, 8 行目</p>	<p>τ_{yt}: $\tau-s$ 関係における付着強度 ¹⁸⁾</p>	<p>τ_{yt}: $\tau-s$ 関係における付着強度 ²²⁾</p>	<p>2020/3/19</p>
<p>516 頁, 9 行目</p>	<p>K_t: $\tau-s$ 関係における付着剛性 ¹⁸⁾</p>	<p>K_t: $\tau-s$ 関係における付着剛性 ²²⁾</p>	<p>2020/3/19</p>
<p>519 頁, 5 行目</p>	$\frac{0.5b_t^2 + (n-1)(a_t d + a_c b_c)}{b_t + (n-1)(a_t + a_c)}$ $= \frac{0.5 \cdot 1000 \cdot 210^2 + (9.04 - 1)(660 \cdot 173.5 + 660 \cdot 36.5)}{1000 \cdot 210 + (9.04 - 1)(660 + 660)}$ $= 105 \text{ mm}$	$\frac{0.5bt^2 + \{n(1+\varphi)-1\}(a_t d + a_c b_c)}{bt + \{n(1+\varphi)-1\}(a_t + a_c)}$ $= \frac{0.5 \cdot 1000 \cdot 210^2 + \{9.04(1+3.0)-1\}(660 \cdot 173.5 + 660 \cdot 36.5)}{1000 \cdot 210 + \{9.04(1+3.0)-1\}(660 + 660)}$ $= 105 \text{ mm}$	<p>2019/5/10</p>
<p>519 頁, 8 行目</p>	<p>$\{ \dots \} 4.0 \times 10^{-4} / 7.72 \times 10^8 = 2.29 \times 10^{-6} \text{ mm}^{-1}$</p>	<p>$\{ \dots \} 4.0 \times 10^{-4} / 173.5 = 2.29 \times 10^{-6} \text{ mm}^{-1}$</p>	<p>2019/3/9</p>
<p>519 頁, 下から 5 行目</p>	<p>$S_{yt} = \tau_{yt} / K_t = 0.044 < S_{eo}$</p>	<p>$S_{yt} = \tau_{yt} / K_t = 0.044 \text{ mm} < S_{eo}$</p>	<p>2019/3/9</p>
<p>519 頁, 下から 3 行目</p>	<p>$K_s = \dots = \frac{8 \cdot 0.174}{173.5(1-0.400)} \frac{1+1.65^4}{1.65^4} \frac{2269 \cdot 210^3}{0.00724 \cdot 6200^3} = 1.85$</p>	<p>$K_s = \dots = \frac{8 \cdot 0.174}{173.5(1-0.400)} \frac{1+1.65^4}{1.65^4} \frac{22669 \cdot 210^3}{0.00724 \cdot 6200^3} = 1.85$</p>	<p>2019/3/9</p>

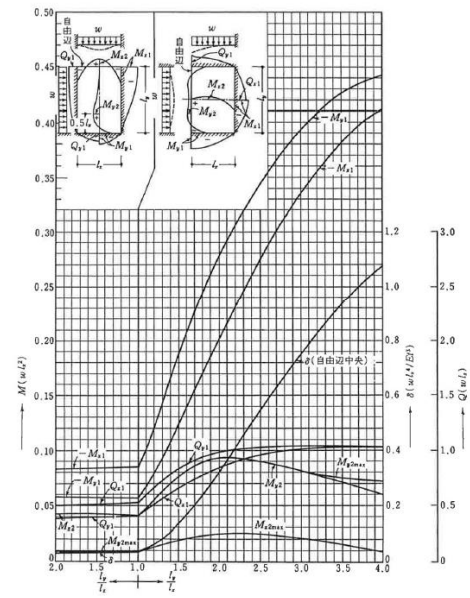
553 頁, 付図 15.2



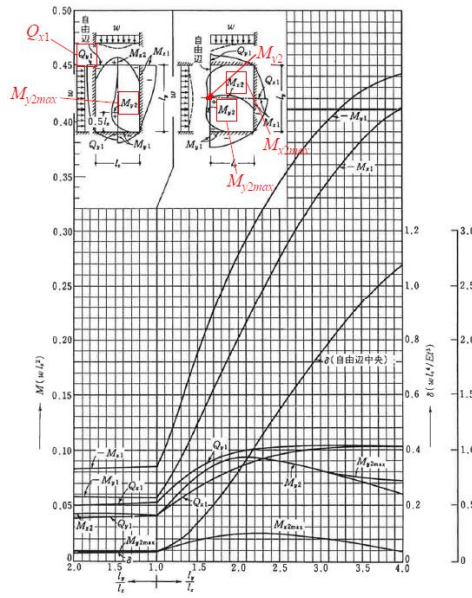
2020/7/27



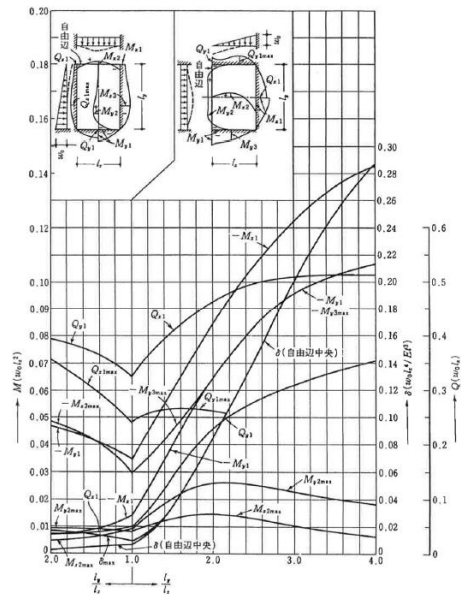
554 頁, 付図 15.3



2020/7/27

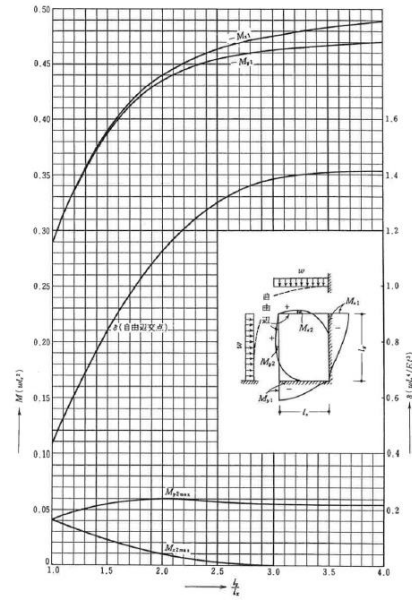


555 頁, 付図 15.4



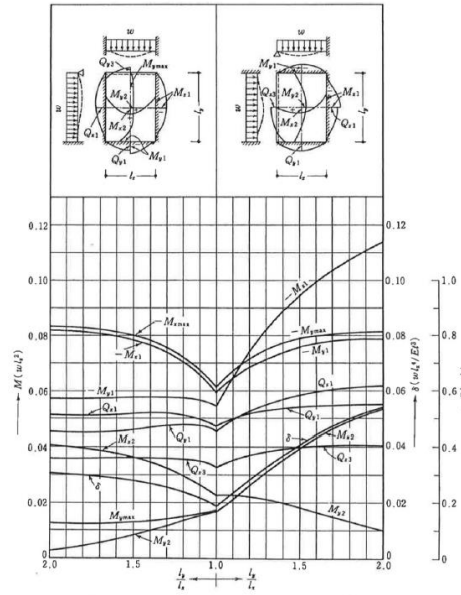
2020/7/27

556 頁, 付図 15.5

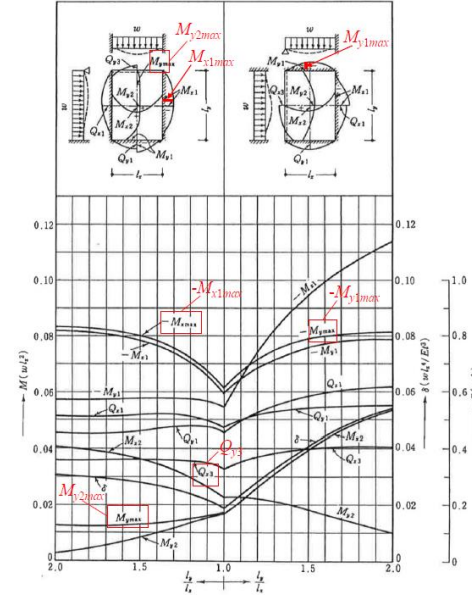


2020/7/27

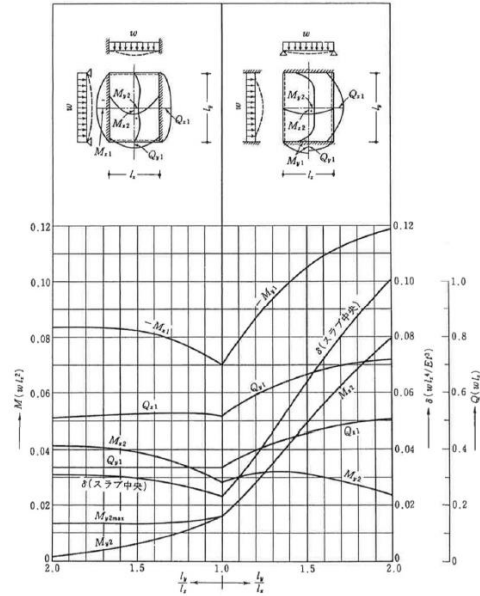
557 頁, 付図 15.6



2020/7/27



559 頁, 付図 15.8



2020/7/27

